



## بهینه‌سازی توپولوژی براساس قابلیت اطمینان برای حداکثرسازی هم‌زمان سختی و فرکانس

حامد محمدزاده<sup>۱</sup>، محمدحسین ابوالبشری<sup>۲\*</sup>

۱- کارشناس ارشد، مهندسی مکانیک، دانشگاه فردوسی مشهد، مشهد

۲- استاد، مهندسی مکانیک، دانشگاه فردوسی مشهد، مشهد

\* مشهد، صندوق پستی ۹۱۷۷۵-۱۱۱۱ abolbash@um.ac.ir

### چکیده

بهینه‌سازی توپولوژی براساس قابلیت اطمینان<sup>۱</sup> برای در نظر گرفتن عدم قطعیت، در متغیرهای طراحی استفاده می‌شود. در این مقاله نشان داده می‌شود که گاهی اوقات بهینه‌سازی فرکانس ممکن است سازه‌ای با سختی کم با برعکس بهینه‌سازی سختی، سازه‌ای با فرکانس پایین تولید کند. در این مورد، بهینه‌سازی چنددهدفه برای هر دو سختی و فرکانس استفاده می‌شود. در این مقاله بهینه‌سازی توپولوژی براساس قابلیت اطمینان با استفاده از بهینه‌سازی دو جهتی تکاملی سازه‌ها<sup>۲</sup> با طرح فیلتر بهمود یافته ارائه می‌شود. برای محاسبات معبار اطمینان از قابلیت اطمینان مرتبه اول<sup>۳</sup> و روش پاسخ سطح استاندارد<sup>۴</sup> برای تقریب تابع حالت حدی استفاده می‌شود. برای افزایش بازده محاسبات، تخمین اطمینان با فرایند بهینه‌سازی توپولوژی کوپل شده است. بهینه‌سازی توپولوژی بهصورت کمینه کردن جرم با قیود احتمالاتی تغییر مکان و فرکانس با فرمول بندی می‌شود. جگال، مدول بانگ و بار به عنوان متغیرهای عدم قطعیت در نظر گرفته می‌شود. توپولوژی به دست آمده با بهینه‌سازی فرمول بندی می‌شود. توپولوژی براساس قابلیت اطمینان با توپولوژی به دست آمده از بهینه‌سازی توپولوژی قطعی<sup>۵</sup> مقایسه می‌شود. نتایج نشان می‌دهد بهینه‌سازی توپولوژی براساس قابلیت اطمینان با استفاده از بهینه‌سازی دو جهتی تکاملی سازه‌ها به طور مؤثر توانایی حل مسائل بهینه‌سازی چند هدفه برای فرکانس و سختی را دارد.

### اطلاعات مقاله

مقاله پژوهشی کامل

دریافت: ۰۹ بهمن ۱۳۹۵

پذیرش: ۰۲ اسفند ۱۳۹۵

ارائه در سایت: ۱۴ فروردین ۱۳۹۶

کلیک و از کار:

قابلیت اطمینان

بهینه‌سازی توپولوژی چند هدفه

بهینه‌سازی دو جهتی تکاملی سازه‌ها

## Reliability based topology optimization for maximizing stiffness and frequency simultaneously

Hamed Mohammadzadeh<sup>1</sup>, Mohammad Hossein Abolbashari<sup>1\*</sup>

1- Department of Mechanical Engineering, Ferdowsi University of Mashhad, Mashhad, Iran.

\* P.O.B 91775-1111 Mashhad, Iran, abolbash@um.ac.ir

### ARTICLE INFORMATION

Original Research Paper

Received 28 January 2017

Accepted 20 February 2017

Available Online 03 April 2017

**Keywords:**

Reliability

multi-objective topology optimization

Bidirectional evolutionary structural optimization

### ABSTRACT

Reliability Based Topology Optimization (RBTO) is a process of determining optimal design satisfying uncertainties of design variables. Sometimes frequency optimization might produce a design with low stiffness or stiffness optimization might lead to a design with low frequency. In this paper, the multi-objective optimization for both stiffness and frequencies is presented. This article presents RBTO using Bi-directional Evolutionary Structural Optimization (BESO) with an improved filter scheme. A multi-objective topology optimization technique is implemented to simultaneously consider the stiffness and natural frequency. In order to compute reliability index the First Order Reliability Method (FORM) and Standard Response Surface Method (SRSM) for generating limit state function is employed. To increase the efficiency of the solution process the reliability estimates are coupled with the topology optimization process. Topology optimization is formulated as volume minimization problem with probabilistic displacement and frequency constraints. Young's module, density, and external load are considered as uncertain variables. The topologies obtained by RBTO are compared with that obtained by Deterministic Topology Optimization (DTO). Results show that RBTO using BESO method is capable of the multi-objective optimization problem for stiffness and frequency effectively.

### -۱- مقدمه

مهندسان مکانیک همیشه انتظار دارند سازه‌ای بسازند که در طول عمر خود بهدرستی کار کند، اما وجود فاکتورهای عدم قطعیت مانند ابعاد، خواص مواد و بار با احتمال زیاد سبب شکست سازه می‌شود. در بهینه‌سازی توپولوژی

براساس قابلیت اطمینان هر کدام از این پارامترهای عدم قطعیت به عنوان متغیر تصادفی انتخاب و قیود قابلیت اعتماد به صورت توابع احتمالاتی، به منظور حاصل شدن سازه‌ای قابل اعتمادتر، در فرمول بندی مسئله بهینه‌سازی توپولوژی وارد می‌شوند.

<sup>۱</sup> Standard Response Surface Method (SRSM)

<sup>۲</sup> Deterministic Topology Optimization (DTO)

<sup>۳</sup> Reliability Based Topology Optimization (RBTO)

<sup>۴</sup> Bi-directional Evolutionary Structural Optimization (BESO)

<sup>۵</sup> First Order Reliability Method (FORM)

$$Ku = f \quad (1)$$

$K$  ماتریس سختی سازه،  $f$  بردار تغییر مکان و  $u$  بردار نیرو است. اثری کرنشی به صورت رابطه (2) تعریف می‌شود.

$$C = \frac{1}{2} f^T u \quad (2)$$

زمانی که المان  $i$ -ام از ساختار حذف می‌شود ماتریس سختی به صورت رابطه (3) تغییر خواهد کرد.

$$\Delta K = K^* - K = -K_i \quad (3)$$

$K^*$  ماتریس سختی سازه پس از حذف المان و  $K_i$  ماتریس سختی المان  $i$ -ام است. فرض می‌شود حذف المان هیچ تأثیری بر بار اعمالی  $f$  ندارد. با نادیده گرفتن جمله‌های مرتبه بالاتر تغییر بردار تغییر مکان به صورت رابطه (4) به دست می‌آید.

$$\Delta u = -K^{-1} \Delta K u \quad (4)$$

از روابط (4,2) رابطه (5) به دست می‌آید.

$$\Delta C = \frac{1}{2} f^T \Delta u = -\frac{1}{2} f^T K^{-1} \Delta K u = \frac{1}{2} u_i^T K_i u_i \quad (5)$$

$u_i$  بردار تغییر مکان المان  $i$ -ام است؛ بنابراین ضریب حساسیت برای نرمی میانگین می‌تواند به صورت رابطه (6) تعریف شود [1].

$$\alpha_{i,\text{static}} = \frac{1}{2} u_i^T K_i u_i \quad (6)$$

رابطه (6) نشان می‌دهد که افزایش نرمی میانگین در نتیجه حذف المان با انرژی کرنشی خود المان برابر است. برای به کمینه رساندن نرمی میانگین (معادل بهینه‌سازی سفتی) از طریق حذف قسمت‌هایی از سازه، روش است که مؤثرترین راه از بین بدن قسمت‌هایی که دارای پایین‌ترین ارزش‌های  $\alpha_i$  است به طوری که افزایش در  $C$  به کمینه بررسد.

## 2-2- ضریب حساسیت برای فرکانس طبیعی

در تحلیل المان محدود رفتار دینامیکی یک سازه را می‌توان با مستله عمومی مقدار ویژه به صورت رابطه (7) نمایش داد [9].

$$(K - \omega^2 M) u_j = 0 \quad (7)$$

$K$  ماتریس سختی کلی،  $M$  ماتریس جرم کلی،  $\omega$  فرکانس طبیعی  $j$ -ام و  $u_j$  بردار متناظر با  $\omega_j$  است.  $\omega$  و  $\omega_j$  از طریق رابطه (8) با هم ارتباط پیدا می‌کنند [9].

$$\omega_j^2 = \frac{u_j^T K u_j}{u_j^T M u_j} \quad (8)$$

برای به دست آوردن اطلاعات گرادیانی متغیرهای طراحی ضروری است که مصالح را بین دو مقدار  $x_{\min}$  و  $1$  درون‌بایی می‌شود. استفاده از مدل جریمه کردن توانی برای مدل یانگ و مدل خطی درون‌بایی برای درون‌بایی چگالی یکی از روش‌های معمول درون‌بایی مصالح است. چنین طراحی سبب به وجود آمدن نایابی‌های عددی می‌شود. مشکل اصلی این است که نسبت‌های بسیار بالا بین سختی و جرم برای مقادیر کم  $x$  (زمانی که توان جریمه بیشتر از یک باشد) سبب ایجاد مدهای ارتعاشی محلی مصنوعی در نواحی با چگالی پایین می‌شود. یکی از راه‌حل‌ها برای اجتناب از چنین مشکلی ثابت نگهداشت نسبت بین جرم و سختی زمانی که  $x = x_{\min}$  و به صورت رابطه (9) است [9].

$$\rho(x_{\min}) = x_{\min} \rho^0 \quad (9)$$

$$E(x_{\min}) = x_{\min} E^0 \quad (9)$$

$\rho^0$  و  $E^0$  به ترتیب چگالی و مدول یانگ المان‌های توپر است؛ بنابراین طرح درون‌بایی به صورت رابطه (10) است [9].

بهینه‌سازی تکاملی سازه‌ها<sup>۱</sup> یکی از روش‌های معمول مورد استفاده برای بهینه‌سازی توبولوژی است. این روش نخستین بار در اوایل دهه ۱۹۹۰ توسط شی و استیون [1] ارائه شد. روش یادشده الگوریتم ساده حذف مواد ناکارآمد را دنبال می‌کند. با این حال بازیابی موادی که در بهینه‌سازی تکاملی سازه‌ها زودتر از موعده مقرر حذف شدند مجاز نیست. در اوخر دهه ۱۹۹۰ بهینه‌سازی دو جهتی تکاملی سازه‌ها به عنوان بهینه‌سازی تکاملی سازه‌ها توسعه یافته ارائه شد [2]. در این نسخه مواد به طور هم‌زمان می‌توانند حذف و یا اضافه شوند. راه حل وابسته به مش آن یکی از معایب این روش‌ها بود، که این مستله با راه حل‌های مستقل از مش پیشنهاد شده توسط هانگ و شی حل شد [3].

اواسط دهه ۲۰۰۰ روش‌های طراحی آماری و احتمالاتی در بهینه‌سازی توبولوژی معرفی شدند که به عنوان بهینه‌سازی توبولوژی براساس قابلیت اطمینان شناخته می‌شوند. در سال‌های اخیر مطالعه بر بهینه‌سازی توبولوژی براساس قابلیت اطمینان توسط مشایخی و همکاران [4] و پاتل و چوی [5] با در نظر گرفتن متغیرهای تصادفی به طور فعال در حال پیشرفت است. بهینه‌سازی توبولوژی براساس قابلیت اطمینان به روش مبتنی بر چگالی برای نخستین بار توسط کارمندا و همکاران [6] ارائه شد. نسبت به بهینه‌سازی توبولوژی براساس قابلیت اطمینان با استفاده از روش مبتنی بر چگالی، کارهای کمی از بهینه‌سازی توبولوژی براساس قابلیت اطمینان با استفاده بهینه‌سازی تکاملی سازه‌ها / بهینه‌سازی دو جهتی تکاملی سازه‌ها انجام شده است. استفاده از روش قابلیت اطمینان مرتبه اول در بهینه‌سازی توبولوژی براساس قابلیت اطمینان توسط کیم و همکاران [7] ارائه شد. به تازگی یو و همکاران [8] بهینه‌سازی توبولوژی براساس قابلیت اطمینان با روش حذف سخت بهینه‌سازی دو جهتی تکاملی سازه‌ها بهبودیافته با استفاده از دو روش پاسخ سطح، روش پاسخ سطح سنتی و روش پاسخ سطح استاندارد برای محاسبه معیار اطمینان فرکانس در بسیاری از زمینه‌های مهندسی از اهمیت سیاری برخوردار است. اگر فرکانس اساسی سازه نزدیک به فرکانس تحрیک باشد ممکن است پاسخ مخرب ایجاد شود. بیشینه رساندن فرکانس اساسی سازه جهت اجتناب از اثر تشدید مطلوب است. گاهی اوقات بهینه‌سازی فرکانس ممکن است سازه‌ای با سختی کم تولید کند، برای از بین بردن این شکل بهینه‌سازی چنددهده برای هر دو سختی و فرکانس استفاده می‌شود. در این مقاله بهینه‌سازی توبولوژی براساس قابلیت اطمینان با در نظر گرفتن هم‌زمان سختی و فرکانس طبیعی انجام می‌گیرد و در آن از یکی از جدیدترین روش‌های حذف نرم بهینه‌سازی دو جهتی تکاملی سازه‌ها برای بهینه‌سازی فرکانس بهره گرفته می‌شود. در این مطالعه از قابلیت اطمینان مرتبه اول برای محاسبه قیدهای احتمالی، معمول ترین روش‌های آنالیز قابلیت اطمینان برای تقریبتابع حالت حدی از روش پاسخ سطح استاندارد و برای افزایش دقیقت تقریبتابع حالت حدی از روش پاسخ سطح استاندار تکراری استفاده می‌شود. آنالیز اجزای محدود با استفاده از انسیس انجام و محاسبات قابلیت اطمینان هم‌زمان با فرایند بهینه‌سازی دو جهتی تکاملی سازه‌ها در مطلب صورت می‌گیرد.

## 2- روش بهینه‌سازی دو جهتی تکاملی سازه‌ها

### 2-1- ضریب حساسیت برای سفتی

در روش اجزا محدود رفتار استاتیکی سازه با رابطه (1) بیان می‌شود.

<sup>1</sup> Evolutionary Structural Optimization (ESO)

محیطی مشکل است؛ بنابراین طرح فیلتر در مدل بهینه‌سازی دو جهتی تکاملی سازه‌ها جدید معرفی می‌شود.

پیش از اعمال طرح فیلتر ضرایب حساسیت گرهی به وسیله میانگین ضرایب حساسیت المانی به صورت رابطه (17) تعریف می‌شوند [3].

$$\alpha_i^n = \sum_{i=1}^m \omega_i \alpha_i^e \quad (17)$$

تعداد کل المان‌های متصل به گره  $j$ -ام را نشان می‌دهد.  $\omega_i$  ضریب وزنی المان  $i$ -ام و به صورت رابطه (18) تعریف می‌شود [3].

$$\omega_i = \frac{1}{m-1} \left( 1 - \frac{r_{ij}}{\sum_{i=1}^m r_{ij}} \right) \quad (18)$$

فاصله بین مرکز المان  $i$ -ام و گره  $j$ -ام است.

ضرایب حساسیت گرهی به ضرایب حساسیت المانی هموارشده تبدیل خواهد شد. برای انجام این فرآیند طرح فیلتر استفاده می‌شود. طرح فیلتر مقیاسی با طول  $r_{\min}$  دارد که با تغییر مش تغییر نمی‌کند. ضریب حساسیت بهبودیافته به شکل رابطه (19) تعریف می‌شود [3].

$$\alpha_i = \frac{\sum_{j=1}^k \omega(r_{ij}) \alpha_j^n}{\sum_{j=1}^k \omega(r_{ij})} \quad (19)$$

تعداد کل نودها در دایره تولیدشده توسط  $r_{\min}$  است.  $\omega(r_{ij})$  ضریب وزنی خطی است که به صورت رابطه (20) تعریف می‌شود [3].

$$\omega(r_{ij}) = r_{\min} - r_{ij} \quad (j = 1, 2, \dots, k) \quad (20)$$

## 2-5- پایدارسازی در روند تکاملی

طرح فیلتر می‌تواند به طور قابل توجهی مشکل وابستگی به مش را حل کند. با این وجود ممکن است تابع هدف و توبولوژی مربوطه همگرا نشود برای بهبود همگرایی الگوریتم ضریب حساسیت به دست آمده از رابطه (21) با ضریب به دست آمده از تکرار پیشین میانگین گرفته می‌شود [3].

$$\alpha_i = \frac{\alpha_i^k + \alpha_i^{k-1}}{2} \quad (21)$$

## 2-6- حذف و اضافه المان‌ها و معیار همگرایی

پس از این که حساسیت‌های اصلاح شده تمام المان‌ها مرتب شدند مقدار آستانه برای حذف و اضافه المان‌ها با توجه به حجم هدف چرخه جاری تعیین می‌شود. عناصر توپر با حساسیت‌های کوچک‌تر از حد آستانه حذف و عناصر توخالی با حساسیت‌های بزرگ‌تر از آستانه به المان‌های توپر اضافه می‌شوند. آزمایش‌های عددی نشان می‌دهد زمانی که رفتار المان‌های توپر و توخالی ثابت می‌شود راحل همگرا به دست آید. مرجع [11] برای جزئیات حذف و اضافه المان‌ها و معیار همگرایی می‌تواند مفید باشد.

## 3- بهینه‌سازی توبولوژی براساس قابلیت اطمینان

در [12] بهینه‌سازی طراحی براساس قابلیت اطمینان مانند رابطه (22) با قیدهای احتمالی برای در نظر گرفتن عدم قطعیت در متغیرهای تصادفی رابطه‌سازی می‌شود.

$$F(d) : \text{کمینه‌سازی} \quad P[g(d, X) \leq 0] \leq P_t \quad \text{با قید} \quad (22)$$

$g(d, X) > 0$  دامنه ایمن،  $0 < g(d, X) \leq 0$  دامنه شکست و  $g(d, X) < 0$  تابع حالت حدی،  $d$  متغیرهای قطعی و  $X$  متغیرهای تصادفی است.  $P_t$  احتمال

$$\begin{aligned} \rho(x_i) &= x_i \rho^0 \\ E(x_i) &= \left[ \frac{x_{\min} - x_i^p}{1 - x_{\min}^p} (1 - x_i^p) + x_i^p \right] E^0 \\ (0 < x_{\min} \leq x_i \leq 1) \end{aligned} \quad (10)$$

فاکتور تنبیه است. از رابطه (10) مشتقه ماتریس جرم کلی  $M$  و ماتریس سختی کلی  $K$  به صورت رابطه (11) به دست می‌آید [9].

$$\begin{aligned} \frac{\partial M}{\partial x_i} &= M_i^0 \\ \frac{\partial K}{\partial x_i} &= \frac{1 - x_{\min}}{1 - x_{\min}^p} p x_i^{p-1} K_i^0 \end{aligned} \quad (11)$$

$M_i^0$  و  $K_i^0$  به ترتیب ماتریس جرم و سختی المان  $i$ -ام در زمان توپر است. از رابطه (8) حساسیت فرکانس  $\omega_i$  به شکل رابطه (12) می‌تواند بیان شود [9].

$$\begin{aligned} \frac{d\omega_j}{dx_i} &= \frac{1}{2\omega_j u_j^T M u_j} \left[ 2 \frac{\partial u_j^T}{\partial x_i} (K - \omega_j^2 M) u_j \right. \\ &\quad \left. + u_j^T \left( \frac{\partial K}{\partial x_i} - \omega_j^2 \frac{\partial M}{\partial x_i} \right) u_j \right] \end{aligned} \quad (12)$$

رابطه (12) با استفاده از رابطه (7) به شکل رابطه (13) ساده می‌شود [9].

$$\frac{d\omega_j}{dx_i} = \frac{1}{2\omega_j u_j^T M u_j} \left[ u_j^T \left( \frac{\partial K}{\partial x_i} - \omega_j^2 \frac{\partial M}{\partial x_i} \right) \right] u_j \quad (13)$$

با جایگزینی رابطه (11) در رابطه (13) و با فرض بردار ویژه  $u_j$  با ماتریس جرم کلی مربوطه نرمالایز شده حساسیت زامین فرکانس طبیعی می‌تواند به شکل رابطه (14) بیان شود [9].

$$\frac{d\omega_j}{dx_i} = \frac{1}{2\omega_j} u_j^T \left( \frac{1 - x_{\min}}{1 - x_{\min}^p} p x_i^{p-1} K_i^0 - \omega_j^2 M_i^0 \right) u_j \quad (14)$$

ضریب حساسیت برای المان‌های توپر و توخالی به شکل رابطه (15) بیان می‌شود [9].

$$\begin{aligned} \alpha_{i,\text{freq}} &= \frac{1}{p} \frac{d\omega_j}{dx_i} \\ &= \begin{cases} \frac{1}{2\omega_j} u_j^T \left( \frac{1 - x_{\min}}{1 - x_{\min}^p} K_i^0 - \frac{\omega_j^2}{p} M_i^0 \right) u_j & x = 1 \\ \frac{1}{2\omega_j} u_j^T \left( \frac{x_{\min}^{p-1} - x_{\min}^p}{1 - x_{\min}^p} K_i^0 - \frac{\omega_j^2}{p} M_i^0 \right) u_j & x = x_{\min} \end{cases} \end{aligned} \quad (15)$$

## 2-3- ضریب حساسیت برای بهینه‌سازی چند هدف

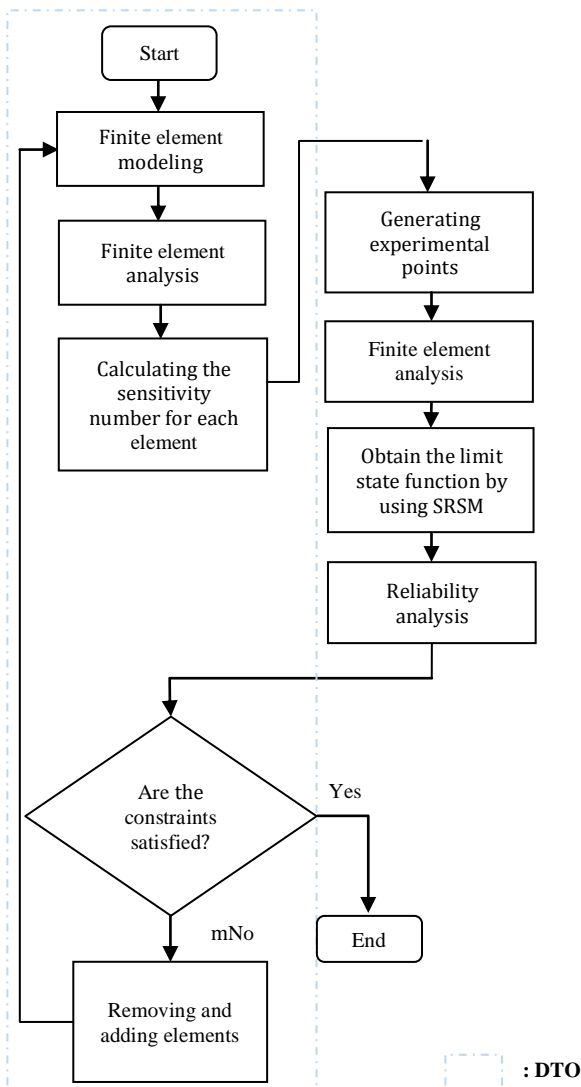
در این مقاله ضریب حساسیت چند هدف به صورت رابطه (16) برای پیدا کردن توبولوژی بهینه جهت ماکریزم‌سازی سختی و فرکانس طبیعی به طور همزمان تعریف می‌شود که ترکیبی از ضرایب حساسیت نرمالایز شده سختی و فرکانس طبیعی، و فاکتورهای وزنی  $\lambda_1$  و  $\lambda_2$  به ترتیب جهت نشان دادن اهمیت سختی و فرکانس طبیعی است [10].

$$\alpha_{i,\text{multi}}^e = \lambda_1 \left( \frac{\alpha_{i,\text{static}} - \alpha_{\text{static}}^{\max}}{\alpha_{\text{static}}^{\max} - \alpha_{\text{static}}^{\min}} \right) + \lambda_2 \left( \frac{\alpha_{i,\text{freq}} - \alpha_{\text{freq}}^{\max}}{\alpha_{\text{freq}}^{\max} - \alpha_{\text{freq}}^{\min}} \right) \quad (16)$$

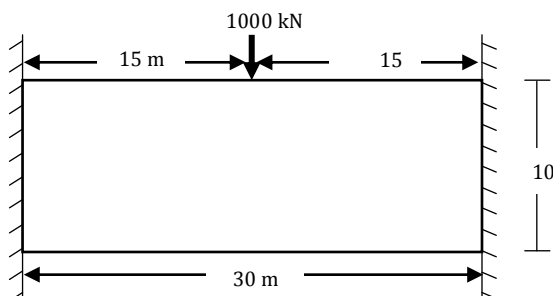
$\alpha_{\text{static}}^{\min}$  و  $\alpha_{\text{static}}^{\max}$  به ترتیب ماکریزم و مینیمم ضریب حساسیت برای سختی و  $\alpha_{\text{freq}}^{\min}$  و  $\alpha_{\text{freq}}^{\max}$  به ترتیب ماکریزم و مینیمم ضریب حساسیت برای فرکانس است.

## 2-4- پدیده شطرنجی و وابستگی به مش

اصطلاح وابستگی به مش به مشکل به دست آمدن توبولوژی‌های مختلف با استفاده از مش‌های متفاوت اشاره دارد. تکنیک‌های مختلفی برای غلبه بر مشکل وابستگی به مش ارائه شده است مانند طرح فیلتر حساسیت و کنترل محیطی، اما در روش کنترل محیطی انتخاب مقداری مناسب برای طول



**شکل ۱** نمودار درختی بهینه‌سازی توبولوژی قطعی و بهینه‌سازی توبولوژی براساس قابلیت اطمینان به روش بهینه‌سازی دو جهتی تکاملی سازدها [8]



**شکل ۲** دامنه طراحی

شکل ۲ دامنه طراحی

سپس افزایش فرکانس طبیعی نخست به عنوان تابع هدف و حجم 75% به عنوان قید انتخاب می‌شود. شکل ۵ پیشینه تغییر مکان ماکریزم و فرکانس طبیعی اول را نشان می‌دهد و توبولوژی نهایی برای این حالت در شکل ۶ نشان داده است. همان‌طور که مشاهده می‌شود با افزایش تکرار (کاهش حجم) فرکانس همواره افزایش و در عوض تغییر مکان در مقایسه با حالت پیشین 350% افزایش دارد.

شکست هدف است. قیود احتمالی نشان می‌دهند که احتمال شکست سیستم باید کوچکتر یا مساوی احتمال شکست هدف باشد.

در این مقاله قابلیت اطمینان مرتبه اول برای محاسبه احتمال شکست استفاده می‌شود. این روش براساس مفهوم معیار اطمینان که تخمینی از احتمال شکست است و از طریق انتقال متغیرهای تصادفی از فضای تصادفی اصلی  $X$  به فضای نرمال استاندارد  $U$ ، تحت این شرط کهتابع توزیع تجمعی نرمال استاندارد<sup>۱</sup> متغیرهای تصادفی پیش و پس از انتقال یکسان باشند، انجام می‌گیرد.

محاسبه معیار اطمینان  $\beta$  به شکل رابطه (23) نشان داده می‌شود [13].

$$\begin{aligned} \beta &= \text{Min } \|u\| \\ S.t g(u) &= 0 \end{aligned} \quad (23)$$

در تقریب قابلیت اطمینان مرتبه اول احتمال شکست به صورت رابطه (24) محاسبه می‌شود [13].

$$P_f \approx \Phi(-\beta) \quad (24)$$

(.).  $\Phi$  تابع توزیع تجمعی نرمال استاندارد است.

#### ۴- الگوریتم و گام‌های حل مسئله

نمودار درختی الگوریتم بهینه‌سازی توبولوژی براساس قابلیت اطمینان در شکل ۱ نشان داده شده است. برای افزایش بازده محاسبات تخمین اطمینان با فرایند بهینه‌سازی توبولوژی کوپل شده است.

گام‌های حل مسئله به شرح زیر است.

گام اول: مدسازی اجزای محدود و حل اجزای محدود

گام دوم: محاسبه ضریب حساسیت سختی و فرکانس و ترکیب آنها با استفاده از رابطه (16)

گام سوم: ترکیب مختلف متغیرهای تصادفی و محاسبه تغییر مکان ماکریزم و فرکانس با استفاده از اجزای محدود

گام چهارم: تقریب تابع حالت حدی با استفاده از روش پاسخ سطح استاندارد

گام پنجم: محاسبه معیار اطمینان با استفاده از رابطه (23)

گام ششم: حذف و اضافه المان‌ها

گام هفتم: تکرار گام‌های اول تا ششم تا رسیدن به حل بهینه

#### ۵- مثال

تیری به بعد 30m در 10m به ضخامت 1m که در طول دو لبه کوتاهترش دارای تکیه‌گاه گیردار در نظر گرفته می‌شود. نیروی 1000 kN به مرکز لبه بالایی وارد می‌شود دامنه طراحی نشان داده شده در شکل 2 به 120×40 m مان تنش صفحه‌ای تقسیم شده و خواص مواد  $E=200$  GPa،  $\rho=8000$  kg/m<sup>3</sup>،  $\alpha_{min}=10^{-6}$ ،  $r_{filter}=1$  m و شعاع فیلتر  $U=0.3$  است. و استفاده می‌شود  $p=2$  و  $ER=2\%$

ابتدا افزایش سختی به عنوان تابع هدف و حجم 75% به عنوان قید در نظر گرفته می‌شود. شکل 3 پیشینه تغییر مکان ماکریزم و فرکانس طبیعی اول را نشان می‌دهد. توبولوژی نهایی برای این حالت در شکل 4 نشان داده شده است. همان‌طور که مشاهده می‌شود با افزایش تکرار (کاهش حجم) فرکانس طبیعی اول ابتدا کمی افزایش و پس از آن کاهش می‌یابد.

<sup>1</sup> Cumulative distribution function

مکان مجاز و  $\omega_{\text{all}}$  فرکانس مجاز به ترتیب برابر  $250 \text{ rad/s}$  و  $0.05 \text{ mm}$  فرض می‌شود.

جدول 1 مقادیر تغییر مکان، فرکانس و حجم نهایی برای ضرایب وزنی مختلف آورده شده و کمترین مقدار حجم برای حالت  $\lambda_1 = 0.75$  و  $\lambda_2 = 0.25$  است؛ بنابراین در ادامه مقاله این مقادیر برای ضرایب وزنی انتخاب می‌شود.

شکل 7 پیشینه تغییر مکان ماقزیموم و فرکانس طبیعی اول را در زمان  $\lambda_1 = 0.75$  و  $\lambda_2 = 0.25$  نشان می‌دهد و توبولوژی نهایی برای این حالت در شکل 8 نشان داده شده است. حجم نهایی 78% است. این حالت ترکیبی از ویژگی‌های حالت بهینه‌سازی سختی و بهینه‌سازی فرکانس است.

### 5-2- بهینه‌سازی توبولوژی براساس قابلیت اطمینان

مدول یانگ چگالی و مقدار بار به عنوان متغیرهای تصادفی با واریانس 10% مقدار میانگین و  $2 \beta_{\text{target}} = 2$  فرض می‌شود.

بهینه‌سازی توبولوژی براساس قابلیت اطمینان به شکل رابطه (26) بیان می‌شود.

**جدول 1** مقادیر تغییر مکان، فرکانس و حجم نهایی برای ضرایب وزنی مختلف

Table 1 Displacement, frequency and volume for different weighted factors

فرکانس (rad/s)	تغییر مکان (mm)	% حجم	$\lambda_2$	$\lambda_1$
279	0.0489	78.47	0.25	0.75
264	0.0484	85	0.5	0.5
260	0.0462	86.81	0.75	0.25
265	0.0472	86.81	1	0

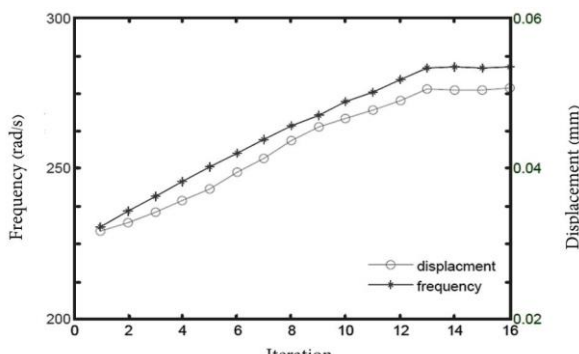


Fig. 7 The evolutionary history of the stiffness-frequency deterministic topology optimization

شکل 7 پیشینه تکاملی برای بهینه‌سازی توبولوژی قطعی سختی- فرکانس



Fig. 8 The final topology of the stiffness-frequency deterministic topology optimization

شکل 8 توبولوژی نهایی برای بهینه‌سازی توبولوژی قطعی سختی- فرکانس

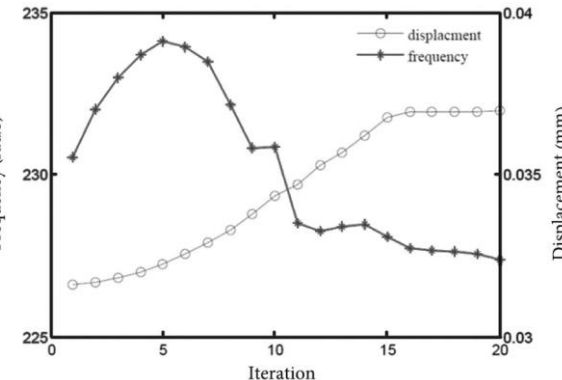


Fig. 3 The evolutionary history for the stiffness optimization

شکل 3 پیشینه تکاملی برای بهینه‌سازی سختی



Fig. 4 Final topology considering only stiffness

شکل 4 توبولوژی نهایی با در نظر گرفتن تنها سختی

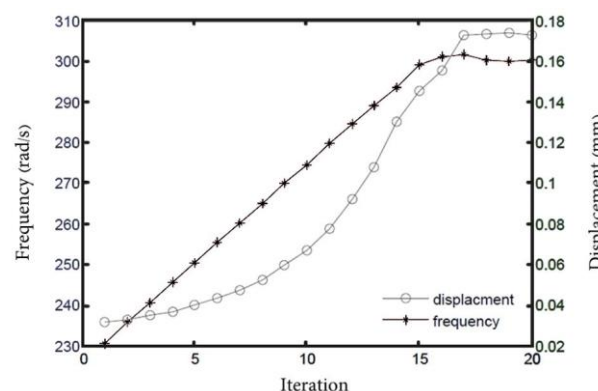


Fig. 5 The evolutionary history of the frequency optimization

شکل 5 پیشینه تکاملی بهینه‌سازی فرکانس



Fig. 6 Final topology considering only stiffness

شکل 6 توبولوژی نهایی با در نظر گرفتن تنها فرکانس

### 5-1- بهینه‌سازی توبولوژی قطعی

بهینه‌سازی توبولوژی قطعی به شکل رابطه (25) بیان می‌شود.  
کمینه‌سازی  $V$

$$\begin{aligned} g_1 &= \delta_{\text{all}} - \delta \geq 0 \\ g_2 &= \omega_1 - \omega_{\text{all}} \geq 0 \end{aligned} \quad (25)$$

$V$  حجم،  $\delta$  تغییر مکان واقعی،  $\omega_1$  فرکانس طبیعی اول است  $\omega_{\text{all}}$  تغییر

برای فرکانس و سختی را دارد.

3. حجم نهایی توبولوژی به دست آمده از بهینه‌سازی توبولوژی براساس قابلیت اطمینان برای برقراری قابلیت اطمینان کمی بیشتر از بهینه‌سازی توبولوژی قطعی است.

## 7- مراجع

- [1] Y. M. Xie, G. P. Steven, A simple evolutionary procedure for structural optimization, *Computers & Structures*, Vol. 49, No. 5, pp. 885-896, 1993.
- [2] X. Y. Yang, Y. M. Xie, G. P. Steven, O. M. Querin, Bidirectional evolutionary method for stiffness optimization, *AIAA*, Vol. 37, No. 11, pp. 1483-1488, 1999.
- [3] X. Huang, Y. M. Xie, Convergent and mesh-independent solutions for the bi-directional evolutionary structural optimization method, *Finite Element in Analysis And Design*, Vol. 43, No. 14, pp. 1039-1049, 2007.
- [4] M. Mashayekhi, E. Salajegheh, J. Salajegheh, M. J. Fadaee, Reliability-based topology optimization of double layer grids using a two-stage optimization method, *Structural and Multidisciplinary Optimization*, Vol. 45, No. 6, pp. 815-833, 2012.
- [5] J. Patel, S.-K. Choi, Classification approach for reliability-based topology optimization using probabilistic neural networks, *Structural and Multidisciplinary Optimization*, Vol. 45, No. 4, pp. 529-543, 2012.
- [6] G. Kharmanda, N. Olhoff, A. Mohamed, M. Lemaire Reliability-based topology optimization, *Structural and Multidisciplinary Optimization*, Vol. 26, No. 5, pp. 295-307, 2004.
- [7] S. R. Kim, W. G. Lee, J. Y. Park, J. S. Yu, S. Y. Han, Reliability-based topology optimization using reliability index approach, Proceeding of SPIE, *The International Society for Optical Engineering*, Vol. 7375, paper 73752W, pp.1-6, 2009.
- [8] K.-S. Yoo, Y.-S. Eom, J.-Y. Park, M.-G. Im, S.-Y. Han, Reliability-based topology optimization using successive standard response surface method, *Finite Element in Analysis And Design*, Vol. 47, No. 7, pp. 843-849, 2011.
- [9] X. Huang, Z. H. Zuo, Y. M. Xie, Evolutionary topological optimization of vibrating continuum structures for natural frequencies, *Computers & Structures*, Vol. 88, No. 5-6, pp. 357-364, 2010.
- [10] K.-H. Cho, J.-Y. Park, S.-P. Ryu, J.-Y. Park, S.-Y. Han, Reliability-based topology optimization based on bidirectional evolutionary structural optimization using multi-objective sensitivity numbers *Automotive Technology*, Vol. 12, No. 6, pp. 849-856, 2011.
- [11] X. Huang, Y. M. Xie, Bi-directional Evolutionary Structural Optimization Method, in: *Evolutionary Topology Optimization of Continuum Structures*, Eds., pp. 17-38, United Kingdom: John Wiley & Sons, Ltd, 2010.
- [12] R. E. Roberson, Synthesis of a nonlinear dynamic vibration absorber, *the Franklin Institute*, Vol. 254, No. 3, pp. 205-220, 1952.
- [13] X. Du, *First Order and Second Reliability Methods*, in: *Probabilistic Engineering Design*, Chapter 7, pp. 1-33, United States: Missouri, 2005.

جدول 2 مقادیر معیار اطمینان برای حجم‌های مختلف

Table 2 Reliability index for different volumes

$\beta_2$	$\beta_1$	% حجم
1.5	4.03	88.75
2.33	2.85	87
2.86	2.02	85.25
3.57	1.51	83.58

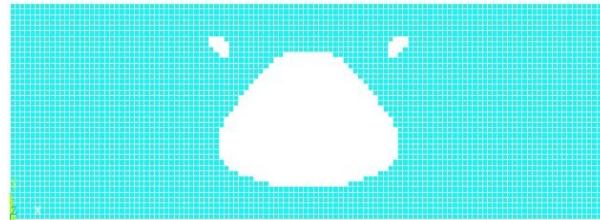


Fig. 9 The final topology of the stiffness-frequency reliability based topology optimization

شکل 9 توبولوژی نهایی برای بهینه‌سازی توبولوژی براساس قابلیت اطمینان سختی - فرکانس

:کمینه‌سازی  $V$

$$\begin{aligned} \text{با قیود} \quad \beta_1(g_i \geq 0) &\geq \beta_{\text{target}} \\ g_1 = \delta_{\text{all}} - \delta &\geq 0 \\ g_2 = \omega_1 - \omega_{\text{all}} &\geq 0 \end{aligned} \quad (26)$$

براساس جدول 2 معیار اطمینان اول مربوط به قید تغییر مکان مراکزیم با کاهش حجم کاهش و معیار اطمینان دوم مربوط به قید فرکانس با کاهش حجم افزایش می‌باید در حجم 85.25% هردو مقدار بزرگ‌تر از 2 و در حدود 7% بیشتر از بهینه‌سازی توبولوژی قطعی است. شکل 9 توبولوژی بهینه‌سازی توبولوژی براساس قابلیت اطمینان را نشان می‌دهد.

## 6- نتیجه‌گیری

در این مقاله بهینه‌سازی توبولوژی براساس قابلیت اطمینان و بهینه‌سازی توبولوژی قطعی براساس بهینه‌سازی دو جهتی تکاملی سازه‌ها با استفاده از تکنیک بهینه‌سازی توبولوژی چنددهدفه مورد استفاده قرار گرفت. به طور کلی از این مطالعه می‌توان نتایج زیر را استنتاج کرد.

1. گاهی در بهینه‌سازی فرکانس امکان دارد سازه‌ای با سختی کم یا بر عکس در بهینه‌سازی سختی، سازه‌ای با فرکانس پایین تولید شود.
2. بهینه‌سازی توبولوژی براساس قابلیت اطمینان با استفاده از بهینه‌سازی دو جهتی تکاملی سازه‌ها توانایی حل مسائل بهینه‌سازی چند هدفه